



بررسی خاصیت ضد میکروبی عصاره و نانوکپسول حاوی عصاره هیدرولالکلی اندام های هوایی

گیاه هوفاریقون بر ماندگاری پنیر سفید

سپیده تبریزی^۱، الهام مهدیان^{۲*}، علی محمدی ثانی^۳، محبوبه سرابی جماب^۴، فاطمه عروجعلیان^۵

۱- دانشجوی دکتری و دانش آموخته کارشناسی ارشد، گروه علوم و صنایع غذایی، واحد قوچان، دانشگاه آزاد اسلامی، قوچان، ایران.

۲- استادیار، گروه علوم و صنایع غذایی، واحد قوچان، دانشگاه آزاد اسلامی، قوچان، ایران.

۳- دانشیار، گروه علوم و صنایع غذایی، واحد قوچان، دانشگاه آزاد اسلامی، قوچان، ایران.

۴- گروه زیستفناوری مواد غذایی، پژوهشکده فناوری های پیشرفته مواد غذایی، مؤسسه پژوهشی علوم و صنایع غذایی، مشهد، ایران.

۵- استادیار گروه فناوری های نوین دانشکده پزشکی دانشگاه علوم پزشکی خراسان شمالی، بجنورد، مشهد، ایران.

چکیده

اطلاعات مقاله

تاریخ های مقاله :

تاریخ دریافت: ۱۴۰۰/۱۰/۲۸

تاریخ پذیرش: ۱۴۰۱/۰۴/۳۰

کلمات کلیدی:

هوفاریقون،

نانوکپسول،

فعالیت ضد میکروبی،

پنیر سفید.

تبديل ترکیبات زیست فعال به مقیاس نانو، به دلیل کاهش اندازه و افزایش سطح، اثرگذاری آنها را افزایش خواهد داد؛ استفاده از ترکیبات ضد میکروبی در مقیاس نانوذرات، می تواند غلظت مصرفی را کاهش دهد. گیاه هوفاریقون با داشتن متابولیت های ثانویه از خاصیت ضد میکروبی برخوردار می باشد. در تحقیق حاضر، ضمن بررسی امکان تولید نانوکپسول حاوی عصاره هیدرولالکلی اندام های هوایی گیاه هوفاریقون، اثر ضد میکروبی عصاره و نانوکپسول حاوی عصاره بر ماندگاری پنیر سفید بررسی گردید. جهت تهیه نانو عصاره، از روش تولید امولسیون نانوکپسول های آژینت کلسیم حاوی عصاره استفاده گردید. نسبت عصاره (با غلظت ۱۰۰ میلی گرم بر میلی لیتر) به آژینت سدیم، ۱ به ۴ بود. تولید نانوکپسول حاوی عصاره با افزودن نانوذرات کلرید کلسیم به نانو امولسیون آژینت حاوی عصاره به نسبت ۱ به ۶ به مدت ۴ ساعت صورت گرفت. جهت تهیه پنیر باکتری های استافیلوکوکوس اورئوس و اشریشیا کلی و مخمر کاندیدا آلبیکنس جداگانه به میزان $CFU/ml ۱۰^۳$ به شیر تلقیح سپس افزودن کلرید کلسیم، آژینم رنت؛ عصاره و نانوکپسول حاوی عصاره به شیر انجام گرفت سپس قدرت ضد میکروبی عصاره و نانوکپسول حاوی عصاره، ویژگی های میکروبی نمونه های پنیر مورد ارزیابی قرار گرفت. نتایج تعیین اندازه ذرات، شاخص پراکندگی اندازه ذرات، پتانسیل زتا، کارایی ریزپوشانی و بررسی میکروسکوپی، تولید نانوذرات با کارایی ریزپوشانی مناسب را تأیید نمود. نتایج آزمون های میکروبی نمونه های پنیر نشان داد، نمونه حاوی نانو عصاره قادر به کاهش حدود یک سیکل لگاریتمی از میکرووار گانیسم تلقیح شده بوده و در زمان ماندگاری مقادیر باکتری گرم مثبت، گرم منفی و مخمر سیر نزولی داشت؛ نمونه حاوی عصاره و نمونه شاهد، میزان میکرووار گانیسم ها بیش از ۳ سیکل لگاریتمی بوده و در زمان ماندگاری سیر صعودی داشتند، در مقایسه با نمونه شاهد، نمونه حاوی عصاره به طور معنی داری دارای مقادیر کمتری از میکرووار گانیسم ها بود. استفاده از نانو عصاره اندام های هوایی گیاه هوفاریقون، به عنوان جایگزین نگهدارنده های ستزی، باعث تولید محصول غذایی سالم تر با زمان ماندگاری بیشتر می شود.

DOI: 10.22034/FSCT.19.128.259

DOR: 20.1001.1.20088787.1401.19.128.10.5

* مسئول مکاتبات:

emahdian2000@yahoo.com

۱- مقدمه

حاوی عصاره پوست انار تهیه گردید و پس از بررسی خصوصیات نانوذرات تولیدی، اثرات ضد میکروبی آن بر روی چند میکرووارگانیسم مولد فساد در مواد غذایی بررسی گردید. نتایج نشان داد که نانوکپسول‌های حاوی عصاره پوست انار اثر ضد میکروبی بیشتری در مقایسه با عصاره داشتند [۹]. همچنین در تحقیقی دیگر، ضمن بررسی امکان تولید نانوکپسول حاوی عصاره برگ گیاه نوروزک، اثر ضد میکروبی عصاره و نانوکپسول حاوی عصاره بر نمونه‌های کالباس بررسی گردید. براساس نتایج بدست آمده، محققان خاطر نشان کردند که می‌توان از عصاره برگ گیاه نوروزک، به ویژه در ابعاد نانو و در مقادیر مناسب، به عنوان جایگزین نگهدارنده‌های ستری، جهت دستیابی به محصولی سالم‌تر و با مدت زمان ماندگاری بیشتر استفاده نمود [۱۰]. علاوه بر آن از تکنیک کپسولاسیون جهت به دام اندازی ترکیبات فعال عصاره رزماری استفاده گردید. براساس نتایج بدست آمده، نانوکپسول‌های متشكل از عصاره رزماری سبب افزایش خواص ضد میکروبی شده و فساد میکروبی فیله گوشت گاو را کاهش دادند [۱۱].

با توجه به توضیحات فوق، در تحقیق حاضر برای نخستین بار ضمن تولید نانوکپسول حاوی عصاره اندام‌های هوایی گیاه هوفاریقون اثرات ضد میکروبی عصاره و نانوکپسول حاوی عصاره بر ماندگاری پنیر سفید مورد ارزیابی قرار گرفته است.

۲- مواد و روش‌ها

۲-۱- آماده‌سازی نمونه‌ها

به منظور آماده‌سازی نمونه، اندام‌های هوایی گیاه از مزرعه تهیه و به مدت یک هفته در مکانی دور از نور خورشید با دمای حدود ۲۴ درجه سانتی‌گراد کاملاً خشک و سپس کاملاً پودر گردید [۱۲].

۲-۲- تهیه عصاره اندام‌های هوایی گیاه هوفاریقون

پودر گیاه خشک شده با نسبت ۳۰ به ۷۰ توسط حلal آب/ اتانول خیسانده شد. پس از ۴۸ ساعت، پس از عبور عصاره از صافی پارچه‌ای، به مدت ۱۰ دقیقه با سرعت $3000 \times g$ سانتریفیوژ

علی‌رغم پیشرفت‌های مدرن در بخش بهداشت و تکنیک‌های تولید غذا، سلامت غذا اهمیت فرازینده‌ای در سلامت عمومی ایفا می‌کند [۱]. سلامت و ایمنی مواد غذایی نگرانی اساسی تولیدکنندگان، مصرفکنندگان و سازمان‌های کنترل کننده بوده است؛ بهویژه عفونت‌های ناشی از مواد غذایی روند رو به افزایشی را نشان می‌دهد [۲]. گزارشات متعددی در مورد آلودگی مواد غذایی از قبیل شیر، پنیر، بستنی و فراورده‌های مختلف لبنی وجود دارد که نشان‌دهنده نقش اساسی شیر خام در شیوع آلودگی می‌باشد [۳].

از سویی دیگر، هرچند استفاده از نگهدارنده‌های ستری در محصولات غذایی، البته در محدوده مجاز آن‌ها، توسط سازمان‌های نظارتی مسئول مجاز شناخته شده است؛ امروزه بهدلیل شناسایی آثار سوء نگهدارنده‌های ستری و مباحث مطرح شده در خصوص عوارض جانبی آن‌ها، تقاضای مصرفکنندگان در مورد محصولات غذایی فاقد نگهدارنده‌های ستری افزایش یافته است. از این‌رو؛ انتخاب جایگزین مناسب و طبیعی برای این نگهدارنده‌ها احساس می‌شود [۴]. استفاده از عصاره و اسانس گیاهان، به عنوان راهکاری مناسب در راستای کنترل میکرووارگانیسم‌های بیماریزا و مولد فساد و به تبع آن افزایش ماندگاری مواد غذایی مطرح می‌باشد. تاکنون اثرات ضد میکروبی برخی از ترکیبات گیاهی مطالعه و تأیید گردیده است.

Hypericum Perforatum که در ایران به هوفاریقون معروف است گیاه بومی غرب اروپا، آسیا و شمال آفریقا می‌باشد. اندام‌های هوایی گیاه هوفاریقون حاوی آکالالوئید، فلاونوئید و تانن‌ها می‌باشد [۶]. اثر ضد میکروبی ضد افسردگی عصاره گیاه هوفاریقون بدلیل وجود ترکیبات هایپریسین، سودوهایپریسین و هایپرفورین می‌باشد که با تخلیص مواد موثر این گیاه، می‌توان در درمان عفونت‌ها و افسردگی‌ها استفاده کرد [۷-۸].

امروزه تکنولوژی نانو در تولید غذاداروها و غذاهای عملکرای منظور بهبود عملکرد ترکیبات زیست‌فعال کاربرد گسترده‌ای یافته است؛ چرا که علاوه بر حفاظت بیشتر از آن‌ها، به دلیل کاهش اندازه و افزایش سطح، اثرگذاری این‌گونه ترکیبات افزایش خواهد یافت [۴]؛ به طور مثال در تحقیقی نانوکپسول‌های آلتزیناتی

کلسیم تهیه شده در مرحله قبل، قطره قطره به نانومولسیون آژینات سدیم افزوده شد و به مدت ۴ ساعت روی همزن مغناطیسی با سرعت کم قرار گرفت. لازم به ذکر است نسبت نانومولسیون به نانو ذرات کلرید کلسیم ۱ به ۶ انتخاب گردید. در انتهای جهت جداسازی نانوکپسولهای آژینات کلسیم حاوی عصاره، از سانتریفیوژ با سرعت $4000 \times g$ به مدت ۵ دقیقه استفاده شد. حذف کامل روغن از نانوکپسولهای تهیه شده نیز به کمک شستشو با استون صورت گرفت [۱۵-۱۷].

۴-۲- تعیین اندازه ذرات، شاخص پراکندگی

اندازه ذرات و پتانسیل زتا

به منظور تعیین اندازه ذرات، شاخص پراکندگی و پتانسیل زتا، با استفاده از دستگاه پراش دینامیکی نور (در دمای ۲۵ درجه سانتی گراد) میانگین قطر حجمی کپسولها و نیز بار الکتریکی سطحی ذرات مورد بررسی قرار گرفت [۱۵].

۵-۲- کارایی درونپوشانی

میزان ترکیبات فنلی عصاره و نانوکپسول حاوی عصاره به عنوان معیاری در محاسبه کارایی درونپوشانی مورد استفاده قرار گرفت. محتوای فنلی تام عصاره قبل از افزودن به امولسیون (A) و میزان آن در سوپرناتانت حاصل از جداسازی نانوکپسولهای آژیناتی حاوی عصاره (B)، اندازه‌گیری شد. کارایی درونپوشانی مطابق رابطه ۱ محاسبه و به صورت درصد بیان گردید [۱۸].

رابطه {۱} $(A-B / A) \times 100$ = کارایی درونپوشانی
لازم به ذکر است محتوای فنل کل بر اساس از روش سینگلتون و با استفاده از معروف فولین سیوکالتیو و رسم منحنی استاندارد اسیدگالیک محاسبه و براساس میلی‌گرم اسیدگالیک بر گرم عصاره بیان شد [۱۹].

۶- ۲- بررسی ریختشناسی نانوکپسول حاوی عصاره

به منظور بررسی ریختشناسی نانوکپسولهای حاوی عصاره از میکروسکوپ الکترونی روبشی استفاده گردید. ابتدا نمونه آماده سازی و با لایه نازکی از طلا پوشانده شد و سپس به اتاقک نمونه تحت خلاء منتقل و خشک گردید. سپس تصاویر به کمک میکروسکوپ الکترونی روبشی به دست آمد [۱۵].

شد [۱۴ و ۱۳]. سپس برای تبخیر حلال در داخل اوپرатор دوار در دمای ۴۰ درجه سانتی گراد قرار گرفت. پس از آن، با قراردادن عصاره در آون تحت خلاء در دمای ۴۰ درجه سانتی گراد، کاملاً خشک گردید. عصاره خشک شده تا زمان انجام آزمایشات در دمای ۴ درجه سانتی گراد نگهداری شد.

۳-۲- تولید نانوکپسولهای حاوی عصاره

۱-۳-۲- تهیه نانوذرات کلرید کلسیم

به منظور تولید ژل آژینات کلسیم حاوی عصاره به روش امولسیون آب در روغن، ضروری است ابتدا ذرات کلرید کلسیم که برای تشکیل ژل مورد استفاده قرار می‌گیرد به ابعاد نانو تبدیل گردد؛ لذا به منظور تولید نانوذرات کلرید کلسیم، محلول ۰/۰۱ مولار کلرید کلسیم در اتانول تهیه و ۳۰ درصد آن به روغن مایع آفتابگردان حاوی ۶ درصد وزنی/وزنی سورفاکtant توئین ۸۰ اضافه گردید. مخلوط حاصله به مدت ۱۲۰ ثانیه با ۳۰ سیکل و توان ۷۰ وات صوت دهنده شد و سپس به منظور تبخیر اتانول، به مدت ۲۴ ساعت به آون تحت خلاء در دمای ۴۰ درجه سانتی-گراد منتقل شد. بعد از تبخیر کامل اتانول، در دمای محیط و با استفاده از دستگاه پراش دینامیکی نور، اندازه ذرات کلرید کلسیم بررسی و پس از تأیید اندازه ذرات در ابعاد نانو، برای تشکیل ژل استفاده گردید [۱۵ و ۱۶].

۲-۳-۲- تهیه نانوذرات آژینات کلسیم حاوی عصاره

تهیه نانوکپسولهای عصاره، با استفاده از روش امولسیون آب در روغن و پوشش دهنده عصاره با ژل آژینات سدیم در آب یون‌زدایی شده، محلول ۲ ابتدا با حل نمودن آژینات سدیم در آب یون‌زدایی شده، محلول ۲ درصد وزنی/حجمی از آن تهیه گردید. سپس با ۱۰۰ میلی‌گرم در میلی‌لیتر از عصاره مخلوط شد. براساس بررسی منابع انجام شده، نسبت عصاره به آژینات سدیم، ۱ به ۴ انتخاب شد. با استفاده از همزن مغناطیسی با سرعت ۳۰۰ دور در دقیقه، فاز آبی، قطره‌قطره به فاز روغنی حاوی ۶ درصد وزنی/وزنی سورفاکtant توئین ۸۰ اضافه شد. نسبت فاز آبی به روغنی ۱۰ به ۹۰ بود. پس از تشکیل امولسیون، به منظور تولید نانومولسیون آژینات سدیم حاوی عصاره هوفاریقوون از هموژنایزر اولتراتوراکس با سرعت $15000 \times g$ استفاده شد [۱۷ و ۱۸].

به منظور تشکیل ژل آژینات کلسیم در ابعاد نانو، نانوذرات کلرید

است به منظور تأیید نهایی میزان میکروارگانیسم‌های تلقیحی، از کشت رقت‌های تهیه شده از میکروارگانیسم‌ها به کمک روش شمارش پلیت استاندارد در محیط TBS نیز استفاده گردید [۲۱ و ۲۲].

۲-۷-۲- تهیه پنیر

به منظور اطمینان از عدم آلودگی شیر به میکروارگانیسم‌ها، ابتدا پاستوریزاسیون شیر در دمای 72 ± 2 درجه سانتی‌گراد به مدت ۱۵ ثانیه انجام شد. قبل از شروع انجام مراحل مختلف پنیرسازی CFU/mL دمای شیر به ۳۵ درجه سانتی‌گراد رسانده شد. سپس 10^3 از هر میکروارگانیسم به طور مجزا به نمونه‌های شیر اضافه گردید. پس از آن مقدار $0/02$ درصد وزنی/حجمی از کلرید کلسیم که در 20 میلی‌لیتر آب مقطر استریل در دمای 40 درجه سانتی‌گراد حل شده بود، به طور یکنواخت به شیر اضافه شد و در همین زمان عصاره و یا نانو عصاره گیاه هوفاریقون به صورت جداگانه با غلاظت 2500 میکروگرم بر میلی‌لیتر اضافه گردید. نهایتاً آنزیم رنت (تهیه شده از شرکت^۴ IIEC) به مقدار $0/001$ درصد وزنی/حجمی پس از حل نمودن آن در آب مقطر استریل به شیر افزوده شده تا عمل انعقاد و تشکیل دلمه پنیر انجام شود. در نهایت نمونه‌های پنیر تولیدی تا زمان انجام آزمایش در یخچال نگهداری شدند. لازم به ذکر است نمونه فاقد عصاره یا نانو کپسول حاوی عصاره، به عنوان نمونه شاهد در نظر گرفته شد.

به منظور بررسی اثر ضد میکروبی عصاره و نانو عصاره بر میکروارگانیسم‌های تلقیح شده، در روز تولید و تا یک هفته پس از آن، برای کشت در هر بار نمونه برداری، 10 گرم از هر نمونه پنیر تولیدی برداشته و توزیز گردید و به وسیله هاون و بوته چینی استریل خرد و داخل ارلن مایر حاوی 90 سی سی سیترات سدیم استریل مخلوط شد. و پس از اختلاط کامل رقت‌های سریالی از آن تهیه گردید. در مرحله بعد یک سی سی از هر رقت ساخته شده به پلیت حاوی محیط^۵ SMA مذاب انتقال داده شد و با حرکت دورانی، نمونه با محیط کشت به طور کامل مخلوط گردید؛ در نهایت نمونه‌های کشت داده شده به مدت 24 ساعت در گرمخانه 37 درجه سانتی‌گراد برای باکتری و 25 درجه

۲-۷-۲- بررسی اثر میکروبی عصاره و نانو کپسول حااوی عصاره روی پنیر

۱-۷-۲- آماده سازی میکروارگانیسم‌ها

میکروارگانیسم‌های مورد استفاده در این پژوهش، شامل سویه‌های میکروبی گرم منفی اشریشیا کلی^۶ (ATCC 1399)، گرم مثبت استافیلوکوکوس اورئوس^۷ (ATCC 1431)، مخمر کاندیدا آلبیکنس^۸ (ATCC 10231) و کبک آسبرژیلوس پارازیتیکوس^۹ (ATCC 1709) از بانک میکروبی سازمان پژوهش‌های علمی و صنعتی ایران تهیه شدند. بدليل اینکه عصاره و نانو عصاره هیدرولکلی گیاه هوفاریقون نتوانست در آزمایشات تعیین هاله عدم رشد و^{۱۰} MIC/MBC^{۱۱} مانع از رشد کپک گردد لذا استفاده از کپک در ادامه آزمایشات صرف نظر گردید و از سه گروه گرم مثبت، گرم منفی و مخمر در آزمایش استفاده شد. براساس غلظت میکروارگانیسم‌های مورد استفاده در آزمایشات MIC/MBC^{۱۲} و براساس نتایج حاصله از آزمون‌های مذکور، به منظور آلوده‌سازی نمونه‌ها به میکروارگانیسم‌های پاتوژن، 10^3 از هر میکروارگانیسم به شیر مصرفی جهت تولید پنیر اضافه گردید. ابتدا به منظور فعال‌سازی میکروارگانیسم‌های نگهداری شده در دمای -20 درجه سانتی‌گراد، از محیط کشت^{۱۳} TSB استفاده گردید؛ بدین صورت که هر یک از میکروارگانیسم‌های مذکور به طور جداگانه در محیط TBS کشت داده شده و به مدت 20 ساعت در دمای مناسب رشد هر یک از میکروارگانیسم‌ها گرمخانه گذاری شدند. مرحله فعال‌سازی به منظور دستیابی به میکروارگانیسم‌های فعال، دو بار به طور متوالی تکرار شد [۲۰].

پس از آن از سوسپانسیون‌های میکروبی تازه، توسط اسپکتروفوتومتر در طول موج nm 600 ، ابتدا کدورتی معادل استاندارد $0/5$ مکفارلند (در حدود 10^8 CFU/mL) و سپس با رقت‌سازی به 10^3 CFU/mL رسانده شد. لازم به ذکر

1. Escherichia Coli

2. Staphylococcus aurous

3. Candida Albicans

4. Aspergillus Parasiticus

5. Minimum inhibitory concentration (MIC) and Minimum bactericidal concentration (MBC)

6. Tryptic Soy Broth

۳- نتایج

۱-۳- بررسی خصوصیات نانوکپسول آلزینات کلسیم حاوی عصاره

جدول ۱ ویژگی‌های نانوکپسول آلزینات کلسیم حاوی عصاره را بعد از جداسازی از سیستم امولسیون نشان می‌دهد که بر اساس نتایج بدست آمده کارایی ریزپوشانی و شاخص پراکندگی ذرات بدست آمده در تحقیق حاضر مناسب می‌باشد. همچنین در شکل ۱ تصویر میکروسکوب الکترونیکی رویشی نمونه نانوکپسول محتوی عصاره اندام‌های هوایی گیاه هوفاریقون تهیه شده را با بزرگنمایی $\times ۵۰$ مشاهده می‌شود که شکل نانوکپسول‌های حاصل، مشابه نتایج گزارش شده توسط سایر محققین کروی است.

Table 1 Properties of *Calcium Alginate Nanocapsules containing Hypericum Perforatum extract*
*mean \pm Standard deviation (n=3)

Samples	Particle size (nM)	Particle size dispersion Index	Zeta potential (EV)	Efficiency of encapsulation (%)
Nano Capsule of Hypericum Perforatum	500	0.21	-38.3	85

هوفاریقون از پلیمر مذکور استفاده گردید. آلزینات به دلیل غیرسمی بودن، در دسترس بودن، هزینه کم و ژل شدن آسان، یک بیopolymer همه‌کاره بوده که معمولاً برای کپسولاسیون ترکیبات مختلف استفاده می‌شود. نتایج کپسوله کردن عصاره‌های مختلف گیاهی در آلزینات کلسیم مورد بررسی قرار گرفته که نشان‌دهنده کارایی مناسب این روش است [۲۶ و ۲۷].

مهمترین علت ایجاد ذرات آلزینات کلسیم تمایل گروه‌های عاملی به‌ویژه گروه‌های کربوکسیل زنجیره‌های پلیمر آلزینات‌سدیم جهت ایجاد پیوند با یون کلسیم و تکمیل ساختار کمپلکس با این یون می‌باشد. بدلیل ماهیت الکتروستاتیکی و پیوند یونی قوی، ذرات آلزینات کلسیم تشکیل شده همواره به عنوان ذراتی با چسبندگی زیاد به یکدیگر شناخته می‌شوند [۲۸].

از سویی دیگر، بهترین شاخص برای تعیین وضعیت الکتریکی سطح ذرات پتانسیل‌زتا می‌باشد؛ زیرا میزان تجمع بار در لایه غیرمتحرک و شدت جذب یون‌های مخالف روی سطح ذره را نشان می‌دهد. بالا بودن پتانسیل زتا ذرات موجب بالا رفتن نیروی دافعه الکترواستاتیک و در نتیجه افزایش پایداری فیزیکی

سانسی گراد برای مخمر قرار گرفت و پس از آن کلنی‌های تشکیل شده توسط دستگاه کلنی کانتر شمارش شد [۲۳-۲۴].

۲-۸- تجزیه و تحلیل آماری

تجزیه و تحلیل آماری نتایج حاصل از آزمایشات با استفاده از نرم افزار 18 SPSS و بر اساس روش اندازه‌گیری‌های تکرار شده در زمان انجام شد. آزمون‌ها در سه تکرار انجام شده و نتایج به دست آمده با استفاده از روش تجزیه واریانس (ANOVA) و مقایسه میانگین‌ها با استفاده از آزمون چند دامنه‌ای دانکن در سطح احتمال پنج درصد ($P<0.05$) مورد تجزیه و تحلیل قرار گرفت.

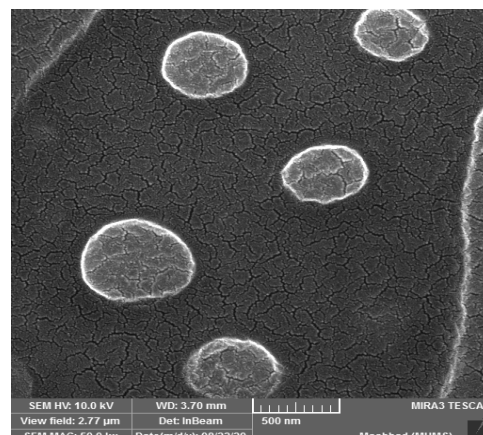


Fig 1 Scanning Electron Microscope image of *Hypericum Perforatum* nano extract

نانو کپسوله شدن ترکیبات زیست‌فعال از ویژگی‌های فیزیکو‌شیمیایی آن‌ها محافظت کرده و انتشار این مواد حساس را کنترل می‌نماید [۲۵]. از ترکیبات مختلفی به عنوان دیواره در تولید نانوکپسول می‌توان استفاده نمود که یکی از متداول‌ترین آن‌ها آلزینات کلسیم می‌باشد که در بخش نخست تحقیق حاضر، جهت تولید نانوکپسول از عصاره بدست آمده از اندام‌های هوایی گیاه

در قدرت دستگاه اولتراسوند و هموژنایزر به منظور کوچک کردن اندازه ذرات و یا نحوه افزودن نانو ذرات کلرید کلسیم به نانو ذرات آژینات سدیم حاوی عصاره جهت تشکیل ژل نسبت داد.

۲-۳- بررسی خاصیت ضد میکروبی عصاره و نانوکپسول حاوی عصاره بر نمونه های پنیر تلقیح

شده با میکرووارگانیسم ها

در بخش دوم تحقیق حاضر به بررسی اثر ضد میکروبی عصاره و نانوکپسول حاوی عصاره اندام های هوایی گیاه هوفاریقون بر میزان رشد میکرووارگانیسم های تلقیح شده به پنیر پرداخته شد. نتایج حاصل در جدول شماره ۲ از آنالیز واریانس و مقایسه نمونه حاوی عصاره، نانو عصاره و نمونه شاهد در خصوص شمارش باکتری استافیلکوکوس اورئوس نشان داد که در کلیه روزها، میزان استافیلکوکوس اورئوس در نمونه پنیر حاوی نانوکپسول عصاره در مقایسه با نمونه حاوی عصاره کمتر از یک سیکل لگاریتمی بود؛ به عبارتی دیگر با توجه به تزریق $CFU/mL < 10^3$ از باکتری مذکور به نمونه ها، نانوکپسول حاوی عصاره توانست در طی مدت زمان یک هفته بررسی، میزان باکتری را در حدود یک سیکل لگاریتمی کاهش دهد. همچنین نتایج حاکی از آن است که هرچند در هر دو نمونه حاوی عصاره و شاهد، شمارش استافیلکوکوس اورئوس بیش از $Log CFU/mL < 3$ بdst آمد؛ میزان باکتری در نمونه حاوی عصاره به طور معنی داری کمتر از نمونه شاهد بود ($P < 0.05$). بررسی شمارش استافیلکوکوس اورئوس در نمونه شاهد و نمونه حاوی عصاره در طی زمان نشان داد که با افزایش زمان ماندگاری میزان باکتری افزایش یافت به طوری که در روز هفتم نمونه برداری، این میزان در خصوص نمونه شاهد و نمونه حاوی عصاره هوفاریقون به ترتیب به $Log CFU/mL < 4/03$ و $< 3/85$ رسید؛ این در حالی است که در نمونه پنیر دارای نانوکپسول حاوی عصاره، میزان باکتری مذکور روندی کاهش داشت به طوری که بیشترین میزان آن در روزهای نخست و کمترین میزان در روزهای پایانی نمونه برداری بدست آمد. این نتیجه را می توان به رهایش تدریجی ترکیبات ضد میکروبی از نانو عصاره در طی مدت ماندگاری نسبت داد.

سیستم می شود [۲۹ و ۳۰].

در تحقیقی دیگر از آژینات کلسیم برای زیرپوشانی عصاره گیاهی *Phyllanthus amours* استفاده شد. اندازه ذرات در نانوکپسول های نهایی ۲۱۳ نانومتر و کارایی ریزپوشانی ۸۹ درصد بدست آمد [۳۱].

گروهی از محققان نانوکپسول هایی را جهت حفظ انسان های روغنی زرد چوبه و لیمو توسط پلیمر های آژینات و کیتوزان تولید نمودند. نتایج آنها نشان داد که استفاده از $0.3\text{ میلی گرم بر میلی لیتر آژینات به همراه } 0.6\text{ میلی گرم بر میلی لیتر کیتوزان سبب تولید نانوکپسول هایی با اندازه ذرات } 256\text{ و } 226\text{ نانومتر به ترتیب برای دو انسان زرد چوبه و لیمو می شود. پتانسیل زتا در هر دو مورد در حدود } 35\text{ میلی ولت بدست آمد که نشان دهنده پایداری مناسب نانوکپسول های تولیدی حاوی انسان های روغنی بود. همچنین کارایی کپسولا سیون دو انسان زرد چوبه و لیمو به ترتیب } 71/1\text{ و } 86/9\text{ درصد بدست آمد. نتایج SEM نیز کپسول هایی کروی شکل با متوسط اندازه ذرات کمتر از } 300\text{ نانومتر را نشان داد [۳۲].}$

همچنین برخی دیگر از محققان از نانوذرات پلیمری زیست تخریب پذیر به روش پیش ژل شدن یونوتروپیک جهت کپسوله نمودن آلیسین استفاده کردند. میانگین اندازه نانو کپسول ها با توجه به غلظت زیست پلیمر کیتوزان و آژینات و PH محلول کمپلکس پلی الکتروولیت مورد بررسی قرار گرفت. نتایج نشان داد که افزایش غلظت کیتوزان و آژینات و همچنین کاهش PH سبب افزایش اندازه ذرات و کاهش میزان بازده کپسولا سیون گردید. گستره مناسب برای غلظت کیتوزان $0/75$ تا $1/5\text{ میلی گرم بر میلی لیتر}$ ، برای غلظت آژینات $2/6$ تا $3\text{ میلی گرم بر میلی لیتر}$ و PH مناسب بین $4/7-5/7$ تعیین شد و نانوکپسول ها توسط میکروسکوپ الکترونی روبشی گسیل میدانی (*FE-SEM*) بررسی شدند که مشخص گردید دارای ساختار کروی و یکنواخت هستند [۳۳].

در مقایسه با نتایج پژوهش سایر محققین، اندازه نانوذرات حاصل در تحقیق حاضر بیشتر بود؛ هرچند در محدوده نانو می باشد. علت این امر را می توان به بزرگتر بودن اندازه نانو ذرات کلرید کلسیم تهیه شده، نسبت عصاره به آژینات استفاده شده، تفاوت

Table 2 Investigation of *Staphylococcus aureus* count (Log CFU/mL) in Cheese samples

Maintenance Time	Control Sample	Samples containing Hydroalcoholic Nano extract of Hypericum Perforatum	Samples containing Hydroalcoholic extract of Hypericum Perforatum
After production	3.58±0.07 ^{*Ad**}	2.53±0.04 ^{Ba}	3.55±0.02 ^{AF}
Day 1	3.66±0.06 ^{Acd}	2.49±0.07 ^{Ca}	3.44±0.03 ^{Be}
Day 2	3.76±0.04 ^{Abc}	2.46±0.06 ^{Cab}	3.56±0.04 ^{Bd}
Day 3	3.79±0.07 ^{Abc}	2.39±0.03 ^{Cb}	3.68±0.03 ^{Bc}
Day 4	3.83±0.05 ^{Ab}	2.36±0.04 ^{Cbc}	3.73±0.04 ^{Bbc}
Day 5	3.87±0.08 ^{Aab}	2.32±0.03 ^{Ccd}	3.77±0.02 ^{Babc}
Day 6	3.97±0.06 ^{Aa}	2.26±0.05 ^{Cd}	3.81±0.04 ^{Bab}
Day 7	4.03±0.09 ^{Aa}	2.23±0.08 ^{Cd}	3.85±0.06 ^{Ba}

*mean ± Standard deviation (n=3)

**Different capital letters in each row indicate the significant difference ($p < 0.05$).
Different small letters in each column indicate the significant difference ($p < 0.05$).

نانوکپسول‌های حاوی عصاره، در کلیه روزهای مورد آزمون، حاوی مقادیر کمتری از اشريشیا کلی در مقایسه با دو نمونه شاهد و حاوی عصاره هوفاریقون بود ($P < 0.05$). در طی مدت زمان ماندگاری ۷ روزه، روند شمارش اشريشیا کلی در نمونه شاهد و نمونه حاوی عصاره صعودی بود؛ به طوری که بیشترین میزان در روز هفتم بدست آمد. ذکر این نکته ضروری است که در خصوص نمونه پنیر حاوی عصاره هوفاریقون، میزان اشريشیا کلی در مقایسه با روز تولید، قدری کاهش یافت که البته به لحاظ آماری با روز تولید اختلاف معنی‌داری نداشت ($P \geq 0.05$). در خصوص نمونه حاوی نانواع عصاره هوفاریقون روندی نزولی مشاهده گردید؛ به طوری که بیشترین و کمترین میزان اشريشیا کلی با مقادیر Log CFU/mL ۲/۵۹ و ۲/۳۶ به ترتیب به روزهای تولید و هفتم تعلق داشت ($P < 0.05$).

همان‌طور که در جدول ۳ مشاهده می‌شود، در روز تولید نمونه‌های پنیر، میزان اشريشیا کلی در نمونه حاوی نانواع عصاره به‌طور معنی‌داری کمتر از نمونه شاهد و نمونه حاوی عصاره بدست آمد ($P < 0.05$)؛ در صورتی که در روز اول تولید بین میزان اشريشیا کلی در نمونه شاهد و نمونه حاوی عصاره اختلاف معنی‌داری مشاهده نگردید ($P \geq 0.05$). در روزهای اول تا سوم نگهداری پنیر، هرچند میزان اشريشیا کلی در دو نمونه اخیر بیش از Log CFU/mL ۳ محاسبه گردید، میزان باکتری در نمونه شاهد به لحاظ آماری در سطح اطمینان ۵ درصد، بیش از نمونه حاوی عصاره بود؛ این در حالی است که پس از آن تا پایان ماندگاری ۷ روزه، مجددًا اختلاف معنی‌داری در شمارش اشريشیا کلی میان نمونه شاهد و نمونه پنیر حاوی عصاره مشاهده نگردید ($P \geq 0.05$). نمونه پنیر دارای

Table 3 Investigation of *Escherichia Coli* count (Log CFU/mL) in Cheese samples

Maintenance Time	Control Sample	Samples containing Hydroalcoholic Nano extract of Hypericum Perforatum	Samples containing Hydroalcoholic extract of Hypericum Perforatum
After production	3.62±0.04 ^{*Ae**}	2.59±0.06 ^{Ba}	3.59±0.03 ^{Ad}
Day 1	3.72±0.07 ^{Ade}	5.54±0.09 ^{Cab}	3.49±0.07 ^{Bd}
Day 2	3.79±0.06 ^{Acd}	2.50±0.05 ^{Cab}	3.63±0.06 ^{Bc}
Day 3	3.83±0.03 ^{Ac}	2.49±0.05 ^{Cab}	3.70±0.04 ^{Bc}
Day 4	3.85±0.03 ^{Ac}	2.46±0.06 ^{Bbc}	3.79±0.03 ^{Ab}
Day 5	3.88±0.07 ^{Abc}	2.43±0.08 ^{Bbc}	3.83±0.05 ^{Ab}
Day 6	3.99±0.06 ^{Aab}	2.39±0.06 ^{Bbc}	3.86±0.07 ^{Ab}
Day 7	4.08±0.06 ^{Aa}	2.36±0.04 ^{Bc}	3.98±0.04 ^{Aa}

*mean ± Standard deviation (n=3)

**Different capital letters in each row indicate the significant difference ($p < 0.05$).
Different small letters in each column indicate the significant difference ($p < 0.05$).

روز اول ماندگاری در مقایسه با روز تولید میزان کمتری شمارش گردید ($P<0.05$). پس از آن تا روز ششم نگهداری، شمارش کاندیدا آلبیکنس سیر صعودی داشت ولی در روز هفتم این مقدار قدری کاهش یافت که البته به لحاظ آماری اختلاف معنی داری بین روز هفتم و روزهای پنجم و ششم نگهداری در شمارش مخمر کاندیدا آلبیکنس مشاهده نگردید ($P\geq0.05$).

در مجموع با توجه به نتایج حاصل از تحقیق حاضر می توان گفت اثر عصاره و نانو عصاره هوفاریقوون روی رشد باکتری گرم مثبت استافیلکوکوس اورئوس، باکتری گرم منفی اشنریشیا کلی و مخمر کاندیدا آلبیکنس مشابه بود؛ به طوری که در مورد هر سه میکروارگانیسم مذکور نانوکپسول حاوی عصاره توانست در حدود یک سیکل لگاریتمی از میزان میکروارگانیسم تلقیح شده باکاهد؛ درحالی که در خصوص عصاره هوفاریقوون این اثر مشاهده نگردید. همچنین در مقایسه با نمونه شاهد، نمونه حاوی عصاره هوفاریقوون اثر ضد میکروبی بیشتری نشان داد، اما آنچنان محسوس نبود.

نتایج آماری بررسی اثر عصاره و نانو عصاره هوفاریقوون بر میزان کاندیدا آلبیکنس در نمونه های پنیر در جدول ۴ قابل مشاهده است. همان طور که در نتایج نشان داده شده است، بجز در روز تولید، که میان شمارش مخمر در نمونه شاهد و نمونه حاوی عصاره اختلاف معنی داری مشاهده نمی شود ($P\geq0.05$)، در سایر روزهای نگهداری، میزان کاندیدا آلبیکنس به طور معنی داری در نمونه حاوی نانو عصاره کمتر از نمونه حاوی عصاره و شمارش این مخمر در نمونه حاوی عصاره از نمونه شاهد کمتر بدست آمد ($P<0.05$). شمارش کاندیدا آلبیکنس در نمونه شاهد و نمونه دارای نانوکپسول حاوی عصاره هوفاریقوون در طی مدت زمان ماندگاری ۷ روزه، از روندی مشابه با شمارش دو باکتری گرم مثبت و گرم منفی مورد بررسی در این تحقیق پیروی نمود؛ به طوری که در مورد نمونه شاهد روندی صعودی و در خصوص نمونه پنیر حاوی نانو عصاره روندی نزولی مشاهده گردید؛ این در حالی است که میزان کاندیدا آلبیکنس در نمونه حاوی عصاره هوفاریقوون روندی یکسان در طی زمان نداشت؛ به طوری که در

Table 4 Investigation of *Candida Albicans* count (Log CFU/mL) in Cheese samples

Maintenance Time	Control Sample	Samples containing Hydroalcoholic Nano extract of Hypericum Perforatum	Samples containing Hydroalcoholic extract of Hypericum Perforatum
After production	$3.54\pm0.03^{*Ad**}$	2.50 ± 0.07^{Ba}	3.51 ± 0.05^{Ad}
Day 1	3.62 ± 0.04^{Ac}	2.47 ± 0.09^{Ca}	3.32 ± 0.02^{Be}
Day 2	3.75 ± 0.07^{Ab}	2.39 ± 0.06^{Cab}	3.50 ± 0.03^{Bd}
Day 3	3.80 ± 0.03^{Ab}	2.34 ± 0.02^{Cb}	3.65 ± 0.01^{Bc}
Day 4	3.83 ± 0.02^{Ab}	2.27 ± 0.06^{Cbc}	3.69 ± 0.03^{Bbc}
Day 5	3.86 ± 0.05^{Ab}	2.2 ± 0.08^{Cc}	3.72 ± 0.04^{Bab}
Day 6	3.97 ± 0.04^{Aa}	2.1 ± 0.07^{Ccd}	3.78 ± 0.05^{Bab}
Day 7	4.01 ± 0.01^{Aa}	2.04 ± 0.05^{Cd}	3.76 ± 0.02^{Ba}

*mean ± Standard deviation (n=3)

**Different capital letters in each row indicate the significant difference ($p<0.05$).

Different small letters in each column indicate the significant difference ($p<0.05$).

[۳۴و۳۵]

گیاه *Hypericum Perforatum* در درمان اگرما، زخم پوستی و سوختگی مؤثر می باشد و ضد سرماخوردگی، گلودرد و اشتها آور است و به عنوان ارتقاء دهنده سیستم ایمنی بدن و ضد سرطان شناخته شده است [۳۶].

در بررسی عصاره هیدروالکلی اندام های هوایی گیاه هوفاریقوون نتایج بدست آمده نشان داد که ترکیبات اصلی عصاره شامل ۶

هرچند تاکنون تحقیقی در زمینه بررسی اثر ضد میکروبی عصاره گیاه هوفاریقوون در محصولات غذایی انجام نشده است؛ مطالعات پژوهشگران نشان می دهد گیاه *Hypericum Perforatum* که به عنوان St. John's worth تیز شناخته می شود، یکی از محدود گیاهان دارویی اقتصادی، غیررسمی و پر مصرف در جهان است. ترکیبات مختلفی با فعالیت های بیولوژیک ثابت شده از این گونه استخراج شده است که اثرات مختلف ضد میکروبی، ضد اکسایشی، ضد افسردگی و فعالیت ضد التهابی را دارا می باشد

هوفاریقون روی چهار گروه میکرووارگانیسم استافیلوکوکوس اورئوس، اشرشیا کلی، کاندیدا آلبیکنس و آسپرژیلوس پارازیتیکوس^{۲۳} مورد بررسی قرار گرفت. براساس نتایج بدست آمده، میزان MIC و MBC عصاره در برابر اشرشیا کلی، استافیلوکوکوس اورئوس، کاندیدا آلبیکنс و آسپرژیلوس پارازیتیکوس به ترتیب^{۲۴}،^{۲۵}،^{۲۶} و بیش از ۲۰۰ میلی گرم بر میلی لیتر بود. MIC و MBC نانو کپسول حاوی عصاره در برابر میکرووارگانیسم‌های مذکور به ترتیب معادل^{۲۷}،^{۲۸} و^{۲۹} ۱۲/۵ و^{۳۰} بیش از ۲۰۰ میلی گرم بر میلی لیتر بدست آمد. مطابق نتایج حاصل، اثر ضد میکروبی نانو کپسول حاوی عصاره بیشتر از عصاره با غلظت یکسان بود. بیشترین اثر ضد میکروبی بر روی مخمر کاندیدا آلبیکنس مشاهده شد؛ در حالی که عصاره و نانو کپسول حاوی عصاره در بالاترین غلظت، خاصیت ضد قارچی در برابر آسپرژیلوس پارازیتیکوس نداشت [۴۲].

۴- نتیجه گیری

هدف از تحقیق حاضر استخراج عصاره هیدروالکلی از اندام‌های هوایی گیاه هوفاریقون و تولید نانو کپسول حاوی عصاره بر ماندگاری پنیر در مدت زمان نگهداری بود. نتایج بدست آمده در خصوص تولید نانو کپسول حاوی عصاره هوفاریقون و نیز بررسی میکروسکوپی آن، تولید نانوذرات مناسب را تأیید نمود. همچنین نتایج آزمون‌های میکروبی روی نمونه‌های پنیر نشان داد که در مجموع می‌توان گفت اثر عصاره و نانو کپسول حاوی عصاره هوفاریقون روی رشد باکتری گرم مثبت استافیلوکوکوس اورئوس، باکتری گرم منفی اشرشیا کلی و مخمر کاندیدا آلبیکنس مشابه بوده؛ و در مورد هر سه میکرووارگانیسم، در نمونه حاوی نانو کپسول عصاره، در حدود یک سیکل لگاریتمی میزان میکرووارگانیسم‌های تلقیح شده کاهش یافت.

با توجه به اینکه تاکنون تحقیقاتی در خصوص اثر ضد میکروبی عصاره و نانو عصاره گیاه هوفاریقون بر افزایش ماندگاری پنیر سفید و یا سایر محصولات غذایی انجام نشده است، بر اساس نتایج بدست آمده در این تحقیق، می‌توان گفت تبدیل عصاره به

گروه اصلی نفتودیانترون^۹، فلوروگلاوسینول^{۱۰}، فلاونوئیدها^{۱۱}، بی فلاون‌ها^{۱۲}، فنیل پروپان‌ها^{۱۳} و پروآنتوسیانیدین‌ها^{۱۴} بوده؛ علاوه بر این، عصاره حاصل حاوی مقداری کمی از تانن^{۱۵}، گرانتون^{۱۶}، اسانس‌های روغنی و اسیدهای آمینه نیز می‌باشد [۳۷-۳۸].

در تحقیقی دیگر هایپریسین^{۱۷} و هایپرفورین^{۱۸} را به عنوان اصلی ترین ترکیبات شیمیایی عصاره گیاه هوفاریقون که در غلظت‌های بالا دارای خاصیت ضد میکروبی هستند، معرفی نمودند [۳۹ و ۴۰].

گروهی از محققان بیشترین فعالیت ضد باکتریایی عصاره اتانولی اندام‌های هوایی *Hypericum Perforatum* در زمان گلدهی گیاه را در برابر باکتری‌های گرم مثبت انتروکوکوکوس فکالیس^{۱۹} و استافیلوکوکوس اورئوس و باکتری‌های گرم منفی سالمونولا تیفی موریوم^{۲۰}، شیگلا دیساتری^{۲۱}، اشرشیا کلی، یرسینیا ایترکولیتیکا^{۲۲} و سودوموناس آثروژنر^{۲۳} به روش تعیین قطر هاله عدم رشد بررسی نمودند. براساس نتایج بدست آمده بیشترین فعالیت ضد باکتریایی در برابر باکتری‌های گرم مثبت با قطر هاله عدم رشد در حدود ۲۵-۲۶ میلی متر حاصل شد؛ در حالی که عصاره گیاه، اثر ضد میکروبی بسیار کمی بر روی باکتری‌های گرم منفی داشت [۴۱].

در تحقیقی عصاره هیدروالکلی اندام‌های هوایی گیاه استخراج گردید و عصاره حاصله توسط نانوذرات آژرینات کلسیم درون پوشانی شد و حداقل غلظت بازدارندگی (MIC^{۲۴}) و حداقل غلظت کشنده (MBC/MFC^{۲۵}) عصاره و نانوذرات حاوی عصاره گیاه

9. Naphthodianthrones

10. Phloroglucinols

11. Flavonoids

12. Biflavones

13. Phenylprpanes

14. Proanthocyanidins

15. Tanins

16. Xanthones

17. Hypericin

18. Hyperforin

19. Enterococcus faecalis

20. Salmonella typhi

21. Shigella dysenteriae

22. Yersinia enterocolitica

23. Pseudomonas aeruginosa

24. Minimum Inhibitory Concentration (MIC)

25. Minimum Bactericidal Concentration/ Minimum fungicidal Concentration (MBC/MFC)

- Bostan A, 2020. Production of Nanocapsules Using Salvia Leriifolia Leaf Extract and Assessing Effects of the Extract and Nanocapsules Containing the Extract on Microbial Properties in Sausages during the Shelf Life. Iranian Journal of Nutrition Science and Food Technology. 15 (2):121-130.
- [11] Rashidaie Abandansarie, S.S., Ariaaii, P. Charmchian Langerodi, M. 2019. Effect of encapsulated rosemary extract on oxidative and microbiological stability of beef meet during refrigerated storage. Food Science and Nutrition, (12):3969-3978.
- [12] AOAC. 1990. Official method of analysis. Washington, DC: Association of Official Analytical Chemists. (No. 934.06).
- [13] Aliakbarian B, Fathi A, Perego P, Dehghani F, 2012. Extraction of antioxidant from winery wastes using subcritical water. J Supercrit Fluids. 65:18-24.
- [14] Marino C, Rivas-Gonzalo C, Ibanez E, Moreno C, 2006. Recovery of catechins and proanthocyanidins from winery by-products using subcritical water extraction. Analytica Chimica Acta. 563: 44-50.
- [15] Yoksan R, 2010. Jirawutthiwongchai J, Arpo K. Ionic gelation processes. Colloids Surf. B. 76(1): 292-297.
- [16] Bhowmik BB, Sa B, Mukherjee A, 2006. Preparation and in vitro characterization of slow release testosterone Nano capsules in alginates. ACTA Pharmaceutical. 56: 417-429.
- [17] Paques JP, Van-Der-Linden E, Van-Rijn CGM, Sagis LMC, 2012. Alginate submicron beads prepared through w/o emulsification and gelation with CaCl₂ nanoparticles. Food Hydrocoll. 40: 182-188.
- [18] Saikia S, Mahnot NK, Mahanta CH, 2015. Optimization of phenolic extraction from Averrhoa carambola pomace by response surface methodology and its microencapsulation by spray and freeze drying. Food Chem. 171:144- 152.
- [19] Singleton V, Orthofer R, Raventos R, 1999. Analysis of total phenols and other oxidation substrates and antioxidants by mean of Folin-Ciocalteu reagent. Methods Enzymology. 299: 152-178.
- [20] Garrity G.M. Bell J.A., Lilburn T.G., 2012. Bergey's Manual of Systematic Bacteriology 2nd Edition. Springer, New York.
- [21] Farsam H, Amanlou M, Reza Dehpour A, Jahaniani F, 2000. Anti-inflammatory and

شکل نانوکپسول‌های حاوی آن، اثربخشی این ترکیبات را افزایش داده؛ به ویژه در طی مدت زمان نگهداری با رهایش تدریجی، قادر است در افزایش ماندگاری محصولات غذایی مفید واقع شود.

۵- منابع

- [1] Khakpour S, Akhlaghdoust M, Naimi S, Mohammad S, Mirlohi J, Abedian M, et al. 2013. Effect of Biebersteinia Multifida DC. Root Extract on Cholesterol in Mice. Zahedan J Res Med Sci., 15(11):49-51.
- [2] Burt S. 2004. Essential oils: their antibacterial properties and potential applications in foods-a Review, International Journal of Food Microbiology, 94(3):223-253.
- [3] Akbarmehr J. 2003. Survey on the Contamination of Fresh White Cheese Produced in Sarab and Rural Area with Brucella Spp. J Fac Vet Med Univ Tehran, 58(3):203-206.
- [4] Perumalla A, Hettiarachchy NS. 2011. Green tea and grape seed extracts -Potential applications in food safety and quality. Int. Food Res. J., 44: 827-839.
- [5] Silvan M, Mingo E, Hidalgo M, Pascual-Teresa S, Carrascosa AV, Martinez-Rodriguez AJ, 2013. Antibacterial activity of a grape seed extract and its fractions against Campylobacter spp. Food Control. 29: 25-31.
- [6] Naghdi Badi H, Amin G, Makkizadeh M, Ziai S. 2005. St. John's wort (Hypericum perforatum L.): A Review. J. Med. Plants, 4 (16) :1-14.
- [7] Mortensen T, Shen S, Shen F, Walsh MK, Sims RC, Miller CD, 2012. Investigating the effectiveness of St John's wort herb as an antimicrobial agent against mycobacteria. Phytother Res. 26(9): 1327-1333.
- [8] Hübner AT, 2003. Treatment with Hypericum perforatum L. does not trigger decreased resistance in *Staphylococcus aureus* against antibiotics and hyperforin. . Phytomedicine. 10(2-3):206-208.
- [9] Rahnemoon, P., Sarabi-Jamab, M., Bostan, A., Mansouri, E. 2021 Nano-encapsulation of pomegranate (*Punica granatum* L.) peel extract and evaluation of its antimicrobial properties on coated chicken meat. Food Bioscience. 43: 101331.
- [10] Sarabi Jamab M, Kaveh M, Modarres M,

- extract of *Pyllanthus amarus* Scham & Thonn ameliorates ccl4 induced hepatotoxicity in Wistar rats. Indian J. Exp. Biol. 50: 785-794.
- [32] Natrajan D, Srinivasan, Sunder K, Ravindran A, 2015. Formilation of essential oil-loaded chitosan-alginate nanocapsoules. J Food Drug Anal. 23:560-568.
- [33] Fakoor M, Rajabzadeh Gh, Taghvaei Ganjali S,2015. Encapsulation of allicin into biodegradeable polymeric nanoparticale and characterization of nanocapsules, Journal of applied Research in Chemistry, (1) 51-57.
- [34] Maruzzella GC, Sicurella NA, 1960. Antibacterial activity of essential oil vapors, Journal of Pharmaceutical Science. 4(49): 692-694.
- [35] Güneş S. and Tihminlioğlu F, 2017. Hypericum perforatum incorporated chitosan films as potential bioactive wound dressing material. International Journal of Biological Macromolecules, 102:933-43.
- [36] Bongiorno P, 2010. Hypericum for Depression. Natural Medicine Journal. 2(12):1-9.
- [37] Bruni R, Sacchetti G,2009. Factors affecting polyphenol biosynthesis in wild and field grown St. John's Wort (*Hypericum perforatum* L. Hypericaceae/Guttiferae). Molecules. 14:682-725.
- [38] Nahrstedt, A., Butterweck, V, 1997. Biologically active and other chemical constituents of the herb of *Hypericum perforatum* L. Pharmacopsychiatry, 30:129-134.
- [39] Erdogan O, Azirak S, Tosyali C, 2004. Antimicrobial activities of *Hypericum scabrum* extracts, KSU. J. Sci. Eng. 7(2):2-6.
- [40] Reichling, J., Weseler, A., Saller, R, 2001. A current review of the antimicrobial activity of *Hypericum Perforatum* L. Pharmacopsychiatry, 34:S116-S118.
- [41] Mazandarani, M., Yassaghi, S., Rezaei, M.B., Mansourian, A.R., Ghaemi, E.O, 2007. Ethnobotany and antibacterial activities of two endemic species of *Hypericum* in North-East of Iran. Asian Journal of Plant Sciences, 6:354-358.
- [42] Tabrizie S, Mahdian E, Mohammadi Sani A,Sarabi-Jamab M,Oroojalian, 2020. Investigation of Antimicrobial properties of the Extract and Nano-extract of Arial organ of *Hypericum Perforatum*, International Journal of Pharmaceutical and Phytopharmacological Research,10(4):199-203.
- analgesic activity of *Biebersteinia multifida* DC. Root extract. J Ethnopharmacol. 71(3):443-447.
- [22] Moosavy MH, Basti AA, Misaghi A, Karim G, Zahraei Salehi T, Mostafavi E, 2009. Effect of Nisin on the rowth of *Staphylococcus aureus* in Commercial Barley Soup. Pharmac Sci. 15(3):235-240.
- [23] Raeisi M, Tajik H, Razavi R, Maham M, Moradi M, Hajimohammadi B, et al, 2012. Essential oil of tarragon (*Artemisia dracunculus*) antibacterial activity on *Staphylococcus aureus* and *Escherichia coli* in culture media and Iranian white cheese. Iran J Microbial. 4(1):30-34.
- [24] Hassanien MF, Mahgoub SA, El-Zahar KM, 2014. Soft cheese supplemented with black cumin oil:Impact on food borne pathogens and quality during storage. Saudi J Biol Sci. 21(3):280-288.
- [25] Mohammadi A, Jafari SM, Esfanjani AF, Akhavan S, 2016. Application of nano-encapsulated olive leaf extract in controlling the oxidative stability of soybean oil. Food Chemistry. 19: 513-519.
- [26] Najafi-Souleari S, Shekarchizadeh H, Kadivar M, 2016. Encapsulation optimization of lemon balm antioxidants in calcium alginate hydrogels. Journal of Biomaterials Science Polymer Edition. 27(16): 1631-1644.
- [27] Stojanovic R, Beljak-Cvitanovic A, Manojlovic V, Komes D, Nedovic V, Bugarski B,2012. Encapsulation of thyme (*Thymus serpyllum* L.) aqueous extract in calcium alginate beads. Journal of the Science of Food and Agriculture. 92(3): 685-696.
- [28] Palombo EA, Semple SJ, 2001. Antibacterial activity of traditional Australian medicinal plants. J Ethnopharmacol. 77(2-3):151-157.
- [29] Daemi H, Barikani M, Bremer M, 2012. The effect of calcium and Iginate ions on the properties of calcium alginate nanoparticles. JPST. 1:25-32.
- [30] Khoshmanzar M, Ghanbarzadeh M, Hamishehkar H, Soti-Khiabani M, Rezaei Makaram R, 2012. Investigating Factors Affecting Particle Size, Zeta Potential and Permanent Rheological Properties in a Colloidal System Containing Sodium Capacaragin-Casetinate Nanoparticles. JRIFST. 4:272-255.
- [31] Deepa V, Sridhar R, Goparaju A, Reddy P, Murthy P, 2012. Nanoemulsified ethanolic



Investigation of Antimicrobial Properties of Extract and Nano-extract of Aerial Organ of *Hypericum Perforatum*

Tabrizi, S. ¹, Mahdian, E. ^{2*}, Mohammadi Sani, A. ³, Sarabi-Jamab, M. ⁴, Oroojalian, F. ⁵

1. PhD Student and MSc Graduate Student, Department of Food Science and Technology, Quchan Branch, Islamic Azad University, Quchan, Iran.

2. Assistant Professor, Department of Food Science and Technology, Quchan Branch, Islamic Azad University, Quchan, Iran.

3. Associate Professor, Department of Food Science and Technology, Quchan Branch, Islamic Azad University, Quchan, Iran.

4. Department of Food Biotechnology, Research Institute of Food Science and Technology (RIFST), Mashhad, Iran.

5. Department of Advanced Sciences and Technologies, North Khorasan University of Medical Sciences, Bojnourd, Iran.

ABSTRACT

ARTICLE INFO

In this study, the extract of *Hypericum Perforatum* aerial organs was prepared by hydro alcoholic solvent and the extract was coated in calcium alginate nanoparticles and the antimicrobial properties of the extract and nanoparticles on four gram-positive, gram-negative yeast and mold groups were investigated and Nanocapsules containing extract were evaluated on the shelf life of white cheese. To prepare Nano-extracts, the emulsion production method of alginate-calcium Nanocapsules containing the extract was used. The production of Nanocapsules containing the extract was done by adding calcium chloride nanoparticles to the alginate Nanoemulsion containing the extract in a ratio of 1 to 6 for 4 hours. To prepare the cheese, *Staphylococcus aureus*, *Escherichia coli*, and *Candida albicans* yeast are inoculated separately into the milk at a rate of 103 CFU / ml and then added calcium chloride, Rennet enzyme, extract and Nanocapsules containing extract to milk were done and the microbial properties of the cheese samples were evaluated on the day of production and up to seven days after. The results of particle size determination, particle size dispersion index, and potential and efficiency of encapsulation for the production of Nanocapsules containing *Hypericum Perforatum* extract and its microscopic examination confirmed the production of nanoparticles with appropriate efficiency of encapsulation. Also, the results showed that for all three microorganisms tested, the sample containing Nano-extract was able to reduce about one logarithmic cycle of the inoculated microorganism and during the shelf life of gram-positive, gram-negative and yeast had a downward trend ($P < 0.05$). The results of the present study showed that using plant extracts containing antimicrobial compounds such as extracts of aerial organs of *Hypericum Perforatum* plant, especially in Nanoparticle and in appropriate quantities, as an alternative to synthetic preservatives, produce a healthy food product and with longer shelf life, it will be possible.

Article History:

Received 2022/01/18

Accepted 2022/07/21

Keywords:

Hypericum Perforatum,
Nano capsules,
Antimicrobial activity,
White Cheese.

DOI: 10.22034/FSCT.19.128.259

DOR: 20.1001.1.20088787.1401.19.128.10.5

*Corresponding Author E-Mail:
emahdian2000@yahoo.com